

拡張されたレイノルズ数の一提案

山梨大学工学部 正会員 萩原船男
 山梨大学工学部 正会員 宮沢直季
 ○ 山梨大学大学院 学生員 手塚久司

1. まえがき

本発表は、第39回土木学会年次講演会(昭和59.10)の発表に続いてレイノルズ数Reを非ニュートン流体に拡張して定義し、ニュートン流体で一般に用いられているMoody線図などを非ニュートン流体に利用できることかどうか検討したものである。

2. 拡張されたレイノルズ数の物理的意味

一般の非ニュートン流体について、拡張されたレイノルズ数 Re_2 を定義してみよう。図-1のように、ニュートン流体(粘性係数 μ)より $g(\tau)$ 変化して $f(\tau)$ なるせん断速度 $du/d\tau$ を示す非ニュートン流体を考えて

$$du/d\tau = f(\tau) = \tau/\mu - g(\tau) \quad \dots \dots \dots (1)$$

を用いてレイノルズ数を定義し、流速、長さの代表値を用いて示すと

$$Re_2 = Re \left\{ 1 - \frac{\mu}{\mu_0} \frac{\tau_0}{\tau} g(\tau_0) \right\} \quad \dots \dots \dots (2)$$

ただし、 $Re = Ul/(\mu/p)$ は、ニュートン流体で定義されるレイノルズ数であり、 p は流体密度、 l は長さの代表値、 τ_0 は τ の代表値である。

一方、ビンガム流体について別途定義すると

$$Re_1 = \frac{Ul}{\gamma_{p1} l / \mu + \gamma_{r1} \tau_0 l / \mu} \quad \dots \dots \dots (3)$$

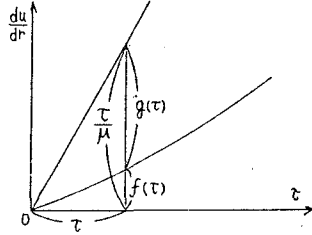


図-1

式(2)、式(3)のように非ニュートン流体における拡張されたレイノルズ数 Re_1 、 Re_2 を定義すると、諸量の代表値を用いるために未知の無次元係数 γ_{p1} 、 γ_{r1} が入る、となる。

3. 拡張されたレイノルズ数の別の定義

拡張されたレイノルズ数 Re_3 は次のように定義される。¹⁾

$$Re_3 = Re \left\{ 1 - X(\tau_0) \right\} \quad \dots \dots \dots (4)$$

ただし、 $G(\tau) = \int g(\tau) d\tau$ $X(\tau_0) = \frac{8\mu}{\tau_0^4} \left\{ \frac{1}{2} G(\tau_0) \tau_0^2 - \int_0^{\tau_0} G(\tau) \tau d\tau \right\}$ である。

ビンガム流体の場合には Re_3 に相当する拡張されたレイノルズ数 Re_4 は

$$Re_4 = Re \left\{ 1 - \frac{4}{3} \left(\frac{\tau_0}{\tau_0} \right)^2 + \frac{1}{3} \left(\frac{\tau_0}{\tau_0} \right)^4 \right\} \quad \dots \dots \dots (5)$$

となる。

4. 実験と実験資料

本実験では、流体は水とベントナイト(比重1.1)の混合流体とし、水とベントナイトの重量組合比 $W/V=9, 10, \dots, 16$ の8種類とした。そしてこれらの混合流体をビンガム流体として塑性粘度 η_0 、降伏応力 τ_0 を定め、内径20mmと30mmの2種類の円管内を流して流量と摩擦損失水頭を測定した。なお、壁面摩擦応力では摩擦損失水頭より求め以下の計算に使用した。

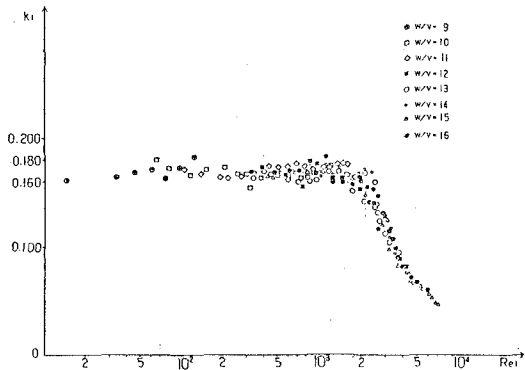


図-2 式(3)で定義した係数 k_1 と Re の関係

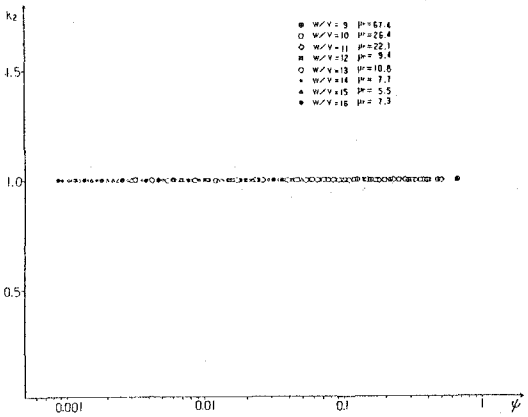


図-3 式(2)で定義した係数 k_2 と ψ の関係

5. 黒次元係数 k_1 , k_2 の実験的考察

各実験資料ごとに拡張されたレイノルズ数 Re_1 と Re_2 が同一の値を取るような黒次元係数 k_1 を定めると図-2のようになる。この黒次元係数 k_1 は $Re_1 < 2000$ では $0.16 \sim 0.18$ となりほぼ一定値をとり、 Re_1 が2000以上になると減少して0に近づく。これは後述のMoody線図からも判らうと乱流域と考えられる。

次に、各資料ごとに拡張されたレイノルズ数 Re_2 と Re_4 が同一の値を取るような黒次元係数 k_2 を定めると図-3のようになる。この黒次元係数 k_2 はほぼ1.0となった。これは本実験で流れる水の粘性係数 μ の約5倍以上そのためである。これは図-4の理論曲線でも明らかである。

6. 拡張されたレイノルズ数のMoody線図への適合性

各実験値に対する抵抗係数 λ と、拡張されたレイノルズ数 Re_1, Re_4 の関係を表しているのが図-5である。図から明らかなように拡張されたレイノルズ数 Re_1, Re_4 が水ベントナイト重量比に関係なく層流域のMoody線図に一致していることがわかる。これに反して、ニュートン流体として定義されたレイノルズ数 Re のものは、水ベントナイト比が小さく(水ベントナイト濃度が薄くなるほど)層流域のMoody線図から離れていくことが図-6よりわかる。

7. 結論

- (1) 拡張されたレイノルズ数 $Re_1 = \frac{U_{md}}{\rho g / \mu + R_1 T_d / \mu_m}$ における黒次元係数の値は、本実験の層流域では $k_1 = 0.16 \sim 0.18$ でほぼ一定値となる。同様に係数 k_2 は水に比較して高粘度の場合はほぼ1.0となることが判明した。
- (2) 一般に用いられるニュートン流体に対するMoody图表へビンガム流体を適用するためには、拡張されたレイノルズ数 Re_1, Re_4 を用いるとよい。

（参考文献） 1) 萩原：第39回土壤会年次講演会 II-313 1985

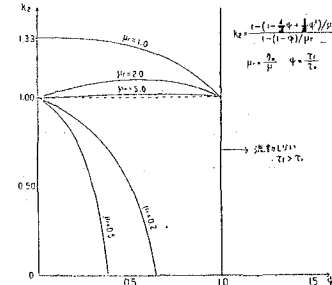


図-4 k_2 の理論曲線

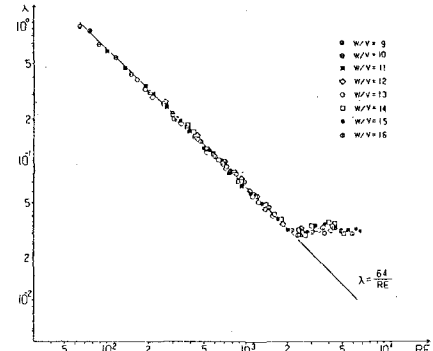


図-5 Moody線図

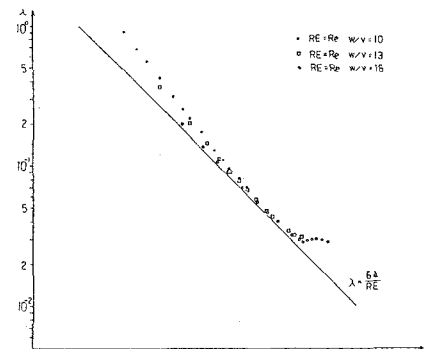


図-6 Moody線図